

DM 9301 Detalle de un afloramiento de pizarras del C.E.G. - (Precámbrico Superior) con S_o. en capas milimétricas.



DM9302 Detalle de floramiento de alternancia de pizarras y grauvacas del C.E.G. (Precámbrico Sup.) con clara disposición S_o afectada por la esquistosidad S_1.



DM 9303

Vista parcial de pizarras y esquistos mosqueados (2).

El mosqueado se observa, según los planos de esquistosidad S_1.



DM 9304

Detalle de la foto anterior, en donde se observan "moscas" de hasta 1 cm. en los niveles pelíticos.



DM9305

Vista parcial de los bancos métricos cuarcíticos del Ordovícico Inferior (17) en la Sierra Grande.



DM 9306

Detalle de la foto anterior.



DM9307

Panorámica de los coluviones cuarcíticos que se adosan a los relieves de igual naturaleza de la Sierra Grande.



DM9308

Detalle de la foto anterior.



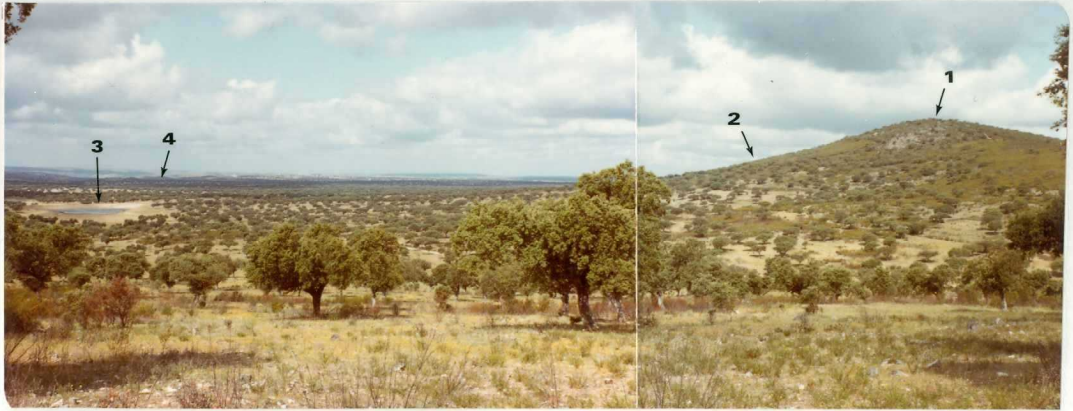
DM9309

Vista parcial de arcosas miocenas en la c.c. Portezuelo--Acehuche.



DM9310

Detalle de la foto anterior.



DM 93H

Panorámica de la ladera Sur de la Sierra Grande.

1.- Cuarcita armoricana. Ordovícico Inf.

2.- Depósitos de coluviales. Cuaternario

3.- Arcosas, arcillas y conglomerados. Mioceno.

4.- Grauvacas, esquistos y pizarras. Precámbrico Sup.



DM9312

Detalle de las facies de tonalitas biotíticas (6) en las proximidades a Ceclavin.



DM9313

Panorámica de los granitos biotíticos moscovíticos ortoneisificados con megacristales feldespáticos (14).



DM9314

Vista parcial de los granitos biotíticos-moscovíticos ortoneisificados con megacristales feldespáticos (14) siguiendo la dirección aproximada del pico del martillo.



DM9315

Panorámica de la zona de contacto entre las facies (1) granitos biotíticos-moscovíticos con megacristales - feldespáticos ortoneisificados y (2) microgranitos - granatíferos con megacristales feldespáticos.



DM9316

Vista parcial de microgranitos granatíferos con megacristales feldespáticos (12).



DM9317
Detalle de los granitos de la foto anterior, en donde se pueden ver granates de hasta 1 cm. de diámetro.



DM9318

Vista parcial de las diabasas del dique de Alentejo-Plasencia



DM9319

Detalle de un bolo diabásico de la foto anterior.



DM 9320

Detalle de granitos tectonizados de grano grueso a medio de dos micas (Facies Mata de Alcántara). (8).



DM9321

Detalle de ortoneises microglandulares cuarciferos (7).